

ผลเฉลยของปัญหานักเรียนหญิงของเคิร์กแมน หนทางแห่งการได้มาซึ่งผู้ชนะที่แท้จริง

The Solution of Kirkman's Schoolgirl Problem, The Way to Find The Real Champion

อุทุมพร จงถาวรวุฒิ* วีรภาส บุญทอง และจริยา อุ้ยยะเสถียร

Uthoomporn Jongthawonwuth*, Veerapas Boonthong and Chariya Uiyasathian

ภาควิชาคณิตศาสตร์และวิทยาการคอมพิวเตอร์

คณะวิทยาศาสตร์ จุฬาลงกรณ์มหาวิทยาลัย

Department of Mathematics and Computer Science, Faculty of Science,

Chulalongkorn University

บทคัดย่อ

การแข่งขันกีฬารายการสำคัญๆ ต้องการรูปแบบการจัดการแข่งขันระหว่างทีมต่างๆ อันนำมาซึ่งผู้ชนะเลิศที่แท้จริงที่สุดอย่างแท้จริง บทความนี้สนใจการแข่งขันกีฬาซึ่งแต่ละนัดเป็นการแข่งขันระหว่าง 3 ทีม ประเภทที่มีการบุกและการตั้งรับ เช่นการแข่งขันฟุตบอลแบบ 3 ทีม เป็นต้น เราได้นำเสนอวิธีการแก้ปัญหาโดยประยุกต์ใช้ผลเฉลยของระบบสามสิ่งของเคิร์กแมน เพื่อสร้างรูปแบบการจัดการแข่งขันที่ต้องการ อีกทั้งยังพิสูจน์ได้ว่า จะสามารถสร้างรูปแบบการจัดการแข่งขันดังกล่าวได้ก็ต่อเมื่อ จำนวนทีมจะต้องไม่เป็น 6 แต่ต้องอยู่ในรูป $6t$, $6t + 1$, $6t + 3$ หรือ $6t + 4$ เท่านั้น เมื่อ t เป็นจำนวนเต็มที่ไม่เป็นลบ

คำสำคัญ : ระบบสามสิ่งของสไตเนอร์ ระบบสามสิ่งของเคิร์กแมน ปัญหานักเรียนหญิงของเคิร์กแมน

Abstract

The essence of a sport scheduling is to make sure that each team can compete fairly and the best team will win. This article focuses on a tournament in which each match is played between 3 teams; each pair of teams play role in attacking and defending; for example, in a 3-team football competition. We present a solution to find a schedule to guarantee the undisputed champion by applying the solutions of Kirkman triple systems. Furthermore, it is also proved that this problem has a solution if and only if the number of teams is not 6 and it is in the forms of $6t$, $6t + 1$, $6t + 3$ or $6t + 4$ for some natural number t .

Keywords: Steiner triple system, Kirkman triple system, Kirkman's schoolgirls problem

*Corresponding author. E-mail : uthoomporn.j@gmail.com

บทนำ

ในปัจจุบันทั่วโลกให้ความสนใจกับการแข่งขันกีฬารายการสำคัญ ๆ เป็นอย่างมาก ไม่ว่าจะเป็นกีฬาโอลิมปิก กีฬาพาราลิมปิก หรือฟุตบอลโลก ซึ่งแต่ละรายการและแต่ละชนิดกีฬามีรูปแบบการจัดการแข่งขันเพื่อหาผู้ชนะที่แตกต่างกันออกไป บางรายการแข่งขันแบบพบกันหมด แต่บางรายการแข่งขันแบบแพ้คัดออก ในขณะที่บางรายการแข่งขันแบบทำชิง หรือในบางครั้งมีการนำรูปแบบเหล่านี้มาผสมผสานกัน คำถามที่ตามมาอย่างหลีกเลี่ยงไม่ได้คือ ผู้ชนะเลิศใช้ผู้ที่เก่งที่สุดหรือไม่ และการจัดการแข่งขันรูปแบบใดที่ทำให้เราสามารถค้นหาผู้ที่ดีที่สุดได้จริง หากการแข่งขันแต่ละนัดเป็นการแข่งขันระหว่าง 2 ทีม การแข่งขันแบบพบกันหมดในระบบเหย้า-เยือน ทำให้ทุกทีมได้แข่งขันกับทีมอื่น ๆ ทั้งหมด ทั้งในลักษณะของการเป็นทีมเหย้าและทีมเยือน ดังนั้นทีมที่ชนะจากการจัดการแข่งขันลักษณะนี้จึงเป็นทีมที่เก่งที่สุดอย่างแท้จริง แต่ถ้าการแข่งขันแต่ละนัดเป็นการแข่งขันระหว่าง 3 ทีมประเภทที่มีการบุกและการตั้งรับ เช่น การแข่งขันฟุตบอลแบบสามทีมซึ่งได้รับความนิยมอย่างมากในประเทศแถบสแกนดิเนเวีย จะไม่สามารถจัดการแข่งขันแบบพบกันหมดในระบบเหย้า-เยือนได้ ทว่าผลเฉลยของปัญหานักเรียนหญิงของเคิร์กแมนสามารถนำมาช่วยแก้ไขปัญหานี้ได้



ภาพที่ 1: แสดงการแข่งขันฟุตบอลแบบสามทีม

ที่มา: <http://www.101greatgoals.com/blog/nutty-norwegians-tv2-invent-three-way-football/> [29 กันยายน 2555]

ระบบสามสิ่งของเคิร์กแมน (Kirkman Triple System)

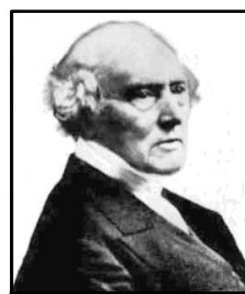
ปัญหานักเรียนหญิงของเคิร์กแมน (Kirkman's Schoolgirl Problem) เป็นปัญหาที่มีชื่อเสียงในสาขาแผนแบบเชิงการจัด (Combinatorial Design) ถูกตั้งเมื่อปี พ.ศ.2393 โดยพระอธิการโทมัส เพงตัน เคิร์กแมน (Kirkman) แห่งโบสถ์ครอฟท์ (Croft) เขียนลงในหนังสือชื่อ “บันทึกประจำวันของสุภาพสตรีและสุภาพบุรุษ (Ladies's and Gentleman's Diary)” ความว่า “ถ้ามีนักเรียนหญิงจำนวน 15 คน จะมีวิธีจัดการเดินแถว 5 แถว แถวละ 3 คน เป็นเวลา 7 วัน (เดินวันละ 1 รอบ) ได้หรือไม่ โดยที่นักเรียนหญิงแต่ละคนต้องเดินในแถวเดียวกับเพื่อนคนอื่นทุกคน คนละ 1 รอบเท่านั้น” (Kirkman, 1850)

ก่อนจะกล่าวถึงผลเฉลยของปัญหานักเรียนหญิงของเคิร์กแมนจำเป็นต้องทำความเข้าใจเกี่ยวกับระบบสามสิ่งของสไตเนอร์ และระบบสามสิ่งของเคิร์กแมน ทั้งนี้ระบบสามสิ่งของสไตเนอร์ (ตั้งตามชื่อของ จาคอบ สไตเนอร์ (Jakob Steiner) นักคณิตศาสตร์ชาวสวิตเซอร์แลนด์ ผู้บุกเบิกศาสตร์แขนงนี้) นิยามว่า **ระบบสามสิ่งของสไตเนอร์ขนาด v** (Steiner Triple System of Order v : **STS**(v)) คือแผนแบบ (X, B) ซึ่ง X เป็นเซตขนาด v ($v \geq 3$) และ B เป็นเซตที่ประกอบด้วยเซตย่อยขนาด 3 ของ X (เรียกว่า “บล็อก”) ภายใต้เงื่อนไขว่า สมาชิก 2 ตัวใด ๆ ของ X ต้องปรากฏพร้อมกันใน 1 บล็อกเท่านั้น ในขณะที่**ระบบสามสิ่งของเคิร์กแมนขนาด v** (Kirkman Triple System of

Order v : $KTS(v)$ คือ ระบบสามสิ่งของสไตเนอร์ที่สามารถแบ่งกัน (partition) B ได้ เรียกว่า “ชั้นขนาน” (Parallel Class) โดยที่แต่ละชั้นจะปรากฏสมาชิกของ X ครบทุกตัว ตัวละ 1 ครั้ง (Jakob Steiner, 1853)



(a)



(b)

ภาพที่ 2: (a) จาคอบ สไตเนอร์

(b) โทมัส เพงตัน เคิร์กแมน

ที่มา: www.ams.org/samplings/feature-column/fcarc-finitegeometries [29 สิงหาคม 2555]

ตัวอย่างที่ 1 พิจารณาแผนแบบ (X, B) เมื่อ $X = \{1, 2, \dots, 7\}$ และ $B = \{\{1, 2, 4\}, \{2, 3, 5\}, \{3, 4, 6\}, \{4, 5, 7\}, \{5, 6, 1\}, \{6, 7, 2\}, \{7, 1, 3\}\}$ พบว่าแผนแบบ (X, B) เป็น $STS(7)$ ■

เพื่อความสะดวกและไม่สับสน ตั้งแต่นี้เป็นต้นไป จะใช้สัญลักษณ์ 1 2 3 แทน $\{1, 2, 3\}$ เช่น เซตของบล็อกของ $STS(7)$ สามารถแสดงได้ดังนี้ 1 2 4, 2 3 5, 3 4 6, 4 5 7, 5 6 1, 6 7 2, 7 1 3

ตัวอย่างที่ 2 พิจารณา $X = \{1, 2, \dots, 9\}$ และเซตของบล็อกที่จัดเป็นชั้นขนานด้านล่างนี้ เห็นได้ชัดว่าเป็น $KTS(9)$

| | | | |
|---------------|---------------|---------------|---------------|
| 1 5 9 | 2 6 9 | 3 7 9 | 4 8 9 |
| 2 7 8 | 3 8 1 | 4 1 2 | 5 2 3 |
| 3 4 6 | 4 5 7 | 5 6 8 | 6 7 1 |
| ชั้นขนานที่ 1 | ชั้นขนานที่ 2 | ชั้นขนานที่ 3 | ชั้นขนานที่ 4 |

นอกจากนี้ยังสามารถสังเกตเพิ่มเติมได้อีกว่าการจัดการแข่งขันที่แต่ละนัดเป็นการแข่งขันระหว่าง 3 ทีม โดยสนใจเพียงให้แต่ละทีมได้พบกับทีมอื่นทั้งหมดทีละ 1 ครั้ง เปรียบได้กับระบบสามสิ่งของสไตเนอร์ โดยแต่ละทีมเป็นเสมือนแต่ละสมาชิกของ X และการแข่งขันแต่ละนัดเป็นเสมือนแต่ละบล็อก แต่ถ้าสนใจเพิ่มเติมว่าการจัดการแข่งขันที่ได้นั้นนอกจากจะต้องสอดคล้องเงื่อนไขข้างต้นแล้วยังต้องสามารถแบ่งการแข่งขันเป็นวันได้ด้วย (ใน 1 วันทุกทีมต้องแข่งขัน 1 นัด) การจัดการแข่งขันรูปแบบนี้จะมีลักษณะประหนึ่งระบบสามสิ่งของเคิร์กแมน นอกจากนี้ผลเฉลยของปัญหานักเรียนหญิงของเคิร์กแมนก็คือ $KTS(15)$ นั่นเอง

สำหรับกรณีทั่วไป การมีผลเฉลยของ $STS(v)$ และ $KTS(v)$ เกิดขึ้นเมื่อค่า v เป็นไปตามเงื่อนไขเฉพาะบางประการซึ่งดังแสดงในทฤษฎีบทที่ 1 และทฤษฎีบทที่ 2 ซึ่งรายละเอียดบทพิสูจน์สามารถอ่านได้ในเอกสารงานวิจัยของสไตเนอร์ (Steiner, 1853) และเอกสารงานวิจัยของ เรย์-ชาอูร์ดี และวิลสัน (Ray-Chaudhuri & Wilson, 1971)

ทฤษฎีบทที่ 1 (Steiner, 1853) จะมี $STS(v)$ ก็ต่อเมื่อ $v \equiv 1$ หรือ $3 \pmod{6}$

ทฤษฎีบทที่ 2 (Ray-Chaudhuri & Wilson, 1971) จะมี $KTS(v)$ ก็ต่อเมื่อ $v \equiv 3 \pmod{6}$

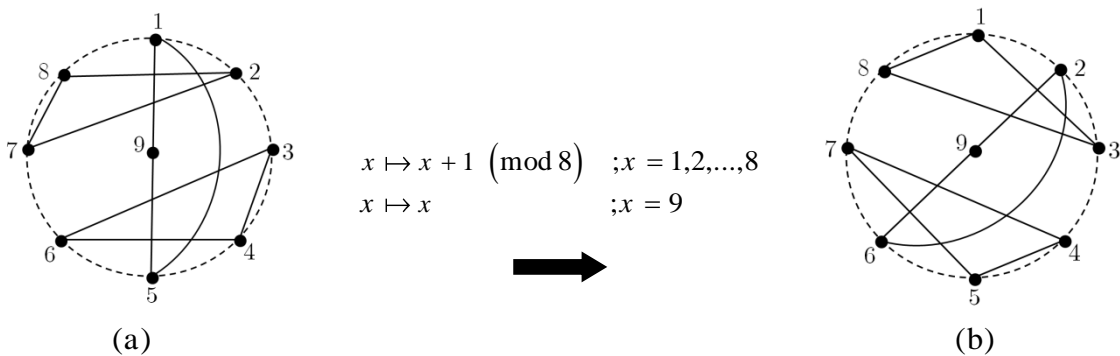
ถ้า $STS(v)$ เป็น $KTS(v)$ แล้ว แต่ละชั้นขนาดจะเป็นการแบ่งกันเซตของจุดยอดออกเป็นบล็อกขนาด 3 ดังนั้น 3 จึงหาร v ลงตัว สำหรับเงื่อนไขพอเพียงพิสูจน์ได้โดยการสร้าง $KTS(v)$ ซึ่งตั้งแต่อดีตจวบจนปัจจุบัน นักวิจัยคิดค้นวิธีการสร้าง $KTS(v)$ ได้หลากหลายวิธี เช่น งานวิจัยของสตินสันและแวนสโตน (Stinson & Vanstone, 1985) งานวิจัยของบาร์เนียร์และบริสเซท (Barnire & Brisset, 2002) และงานวิจัยของลี่และคณะ (Li et al., 2011) อย่างไรก็ตาม ก่อนที่ เรย์-ชาต์ฮูรี และวิลสันจะเป็นผู้พิสูจน์ได้เป็นกลุ่มแรก เวลาที่ล่วงเลยมานานถึง 121 ปี จึงเป็นที่น่าสนใจที่จะศึกษาแนวคิดดั้งเดิมในการสร้าง $KTS(v)$ ซึ่งในที่นี้แสดงการหา $KTS(9)$ และ $KTS(15)$ ด้วยวิธีของรามอน ลูล (Ramon Lull) ที่คิดค้นไว้ตั้งแต่พุทธศตวรรษที่ 18 (Gardner, 1997) วิธีนี้เป็นวิธีที่เข้าใจได้ง่าย และเห็นเป็นรูปธรรม ซึ่งจะพิจารณาแผนแบบด้วยโมเดลทางทฤษฎีกราฟดังกล่าวคือ ถ้ามี $STS(v)$ แล้วจะสามารถแบ่งกันเซตของเส้นเชื่อมในกราฟบริบูรณ์ที่มี v จุดยอด (แต่ละคู่ของจุดยอดมีเส้นเชื่อมจำนวน 1 เส้นเท่านั้น แทนด้วยสัญลักษณ์ K_v) เป็นสามเหลี่ยม (K_3) ได้ และถ้า $STS(v)$ ดังกล่าวเป็น $KTS(v)$ เมื่อ $v = 6t + 3$ แล้วจะสามารถแบ่งกันเซตของสามเหลี่ยมเหล่านั้นได้ จำนวน $3t + 1$ ชั้น โดยที่แต่ละชั้นขนาดประกอบด้วยสามเหลี่ยมที่ใช้จุดยอดครบทุกจุดยอดและไม่ใช้จุดยอดซ้ำกันจำนวน $2t + 1$ รูป ในภาพที่ 3(b) แสดง $STS(7)$ ในตัวอย่างที่ 1 ด้วยรูปแบบการแบ่งกันเซตของเส้นเชื่อมใน K_7 ด้วยสามเหลี่ยม



ภาพที่ 3: (a) แสดงกราฟบริบูรณ์ที่มี 7 จุดยอด
(b) แสดงการแบ่งกันเซตของเส้นเชื่อมใน K_7 ด้วยสามเหลี่ยม

วิธีการสร้าง $KTS(9)$ และ $KTS(15)$

$KTS(9)$: สร้างได้โดยให้แต่ละสมาชิกของ $X = \{1, 2, \dots, 9\}$ แทนด้วยจุดยอดของกราฟโดยเขียนจุดยอดหมายเลข 1 ถึง 8 เรียงโดยรอบวงกลม และจุดยอดหมายเลข 9 ในตำแหน่งจุดศูนย์กลางของวงกลม จากนั้นสร้างบล็อกโดยการเขียนเส้นเชื่อมเพิ่มเติมเพื่อให้เกิดรูปสามเหลี่ยมตั้งต้นจำนวน 3 รูป (สามเหลี่ยมแต่ละรูปแทนแต่ละบล็อก) ตามภาพที่ 4(a)



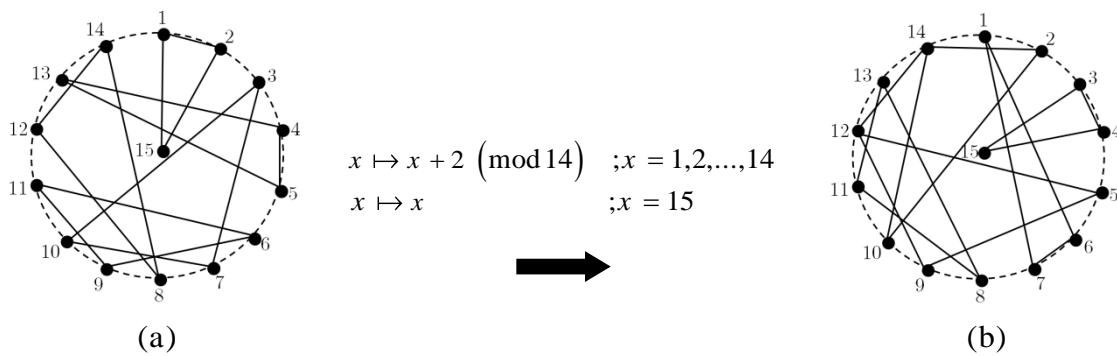
ภาพที่ 4: แสดงขั้นตอนการสร้าง $KTS(9)$

จากภาพที่ 4(a) พบว่า 3 บล็อกนี้ประกอบด้วย 1 5 9 2 7 8 และ 3 4 6 เป็นชั้นขนาน ในที่นี้ให้ชื่อว่าชั้นขนานที่ 1 เนื่องจากการสร้าง $KTS(9)$ ต้องจัดบล็อกให้เป็น 4 ชั้น ดังนั้นอีก 3 ชั้นขนานที่เหลือสามารถสร้างได้โดยการหมุนสามเหลี่ยมเหล่านี้จำนวน 3 รอบ (การหมุนแต่ละครั้งคือการส่ง $x \mapsto x + 1$ เมื่อ $x = 1, 2, \dots, 8$ ภายใต้สมภาคมอดุโล 8 และส่ง $9 \mapsto 9$) ทั้งนี้ตัวอย่างการหมุนรอบที่ 1 แสดงได้ดังนี้

| | | | |
|---------------|-------|-------|-------|
| ชั้นขนานที่ 1 | 1 5 9 | 2 7 8 | 3 4 6 |
| | ↓ ↓ ↓ | ↓ ↓ ↓ | ↓ ↓ ↓ |
| ชั้นขนานที่ 2 | 2 6 9 | 3 8 1 | 4 5 7 |

ภายหลังการหมุนจะได้ชั้นขนานที่ 2 ดังแสดงในภาพที่ 4(b) และเมื่อหมุนจนครบทั้ง 3 รอบ ถ้าเซตของสามเหลี่ยมที่ได้แบ่งกันเซตของ K_9 แล้วจะได้ $KTS(9)$ ดังนั้นเซตของสามเหลี่ยมตั้งต้นที่เหมาะสมเท่านั้นที่ทำให้เกิด $KTS(9)$ ได้ ดังเช่นเซตของสามเหลี่ยมในชั้นขนานที่ 1 ซึ่งปรากฏในตัวอย่างที่ 2 อย่างไรก็ตามเทคนิคการหมุนลักษณะนี้สามารถประยุกต์เพื่อสร้าง $KTS(15)$ ได้เช่นกัน ดังนี้

$KTS(15)$: สร้างได้โดยให้แต่ละสมาชิกของ $X = \{1, 2, \dots, 15\}$ แทนด้วยจุดยอดของกราฟโดยเขียนจุดยอดหมายเลข 1 ถึง 14 เรียงโดยรอบวงกลม และจุดยอดหมายเลข 15 ในตำแหน่งจุดศูนย์กลางของวงกลม จากนั้นสร้างบล็อกโดยการเขียนเส้นเชื่อมเพิ่มเติมเพื่อให้เกิดรูปสามเหลี่ยมตั้งต้นจำนวน 5 รูป ดังภาพที่ 5(a)



ภาพที่ 5: แสดงขั้นตอนการสร้าง $KTS(15)$

จากภาพที่ 5(a) จะได้ว่าชั้นขนานหนึ่งของ $KTS(15)$ ประกอบด้วย 1 2 15 3 7 10 4 5 13 6 9 11 และ 8 12 14 ในที่นี้ให้ชื่อว่าชั้นขนานที่ 1 สำหรับอีก 6 ชั้นที่เหลือสามารถสร้างได้โดยการหมุนสามเหลี่ยมเหล่านี้จำนวน 6 รอบ (การหมุนแต่ละครั้งคือการส่ง $x \mapsto x + 2$ เมื่อ $x = 1, 2, \dots, 14$ ภายใต้สมภาคมอดุโล 14 และส่ง $15 \mapsto 15$) ทั้งนี้ตัวอย่างการหมุนรอบที่ 1 แสดงได้ดังนี้

| | | | | | |
|---------------|--------|--------|--------|---------|---------|
| ชั้นขนานที่ 1 | 1 2 15 | 3 7 10 | 4 5 13 | 6 9 11 | 8 12 14 |
| | ↓ ↓ ↓ | ↓ ↓ ↓ | ↓ ↓ ↓ | ↓ ↓ ↓ | ↓ ↓ ↓ |
| ชั้นขนานที่ 2 | 3 4 15 | 5 9 12 | 6 7 1 | 8 11 13 | 10 14 2 |

หลังจากการหมุนรอบแรกเสร็จสิ้นจะได้ชั้นขนานที่ 2 ดังแสดงในภาพที่ 5(b) และเมื่อทำการหมุนจนครบทั้ง 6 รอบจะได้ $KTS(15)$ ดังนี้

| | | | |
|---------------|---------------|---------------|---------------|
| 1 2 15 | 3 4 15 | 5 6 15 | 7 8 15 |
| 3 7 10 | 5 9 12 | 7 11 14 | 9 13 2 |
| 4 5 13 | 6 7 1 | 8 9 3 | 10 11 5 |
| 6 9 11 | 8 11 13 | 10 13 1 | 12 1 3 |
| 8 12 14 | 10 14 2 | 12 2 4 | 14 4 6 |
| ชั้นขนานที่ 1 | ชั้นขนานที่ 2 | ชั้นขนานที่ 3 | ชั้นขนานที่ 4 |
| 9 10 15 | 11 12 15 | 13 14 15 | |
| 11 1 4 | 13 3 6 | 1 5 8 | |
| 12 13 7 | 14 1 9 | 2 3 11 | |
| 14 3 5 | 2 5 7 | 4 7 9 | |
| 2 6 8 | 4 8 10 | 6 10 12 | |
| ชั้นขนานที่ 5 | ชั้นขนานที่ 6 | ชั้นขนานที่ 7 | |

สำหรับค่า v อื่น ๆ ที่มีค่ามากขึ้น การหาชุดของสามเหลี่ยมตั้งต้นทำได้ซับซ้อนขึ้น วิธีการสร้างในลักษณะนี้จะทำได้ลำบาก การสร้าง $KTS(v)$ เมื่อ $v \geq 39$ จะใช้เทคนิคแตกต่างกันไป บางครั้งสามารถใช้ผลเฉลยของ $KTS(v)$ ที่ v มีค่าน้อยกว่ามาประยุกต์ บางครั้งอาจใช้ความรู้แผนแบบในรูปแบบอื่นเข้ามาประกอบการสร้างด้วย ซึ่งผู้อ่านที่สนใจสามารถอ่านได้ในหนังสือของวอลลิส (Wallis, 2007)

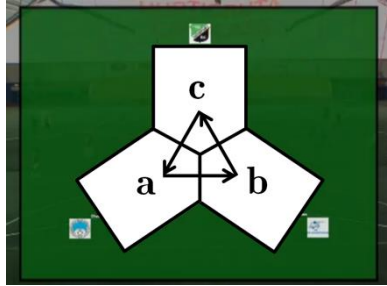
รูปแบบการจัดการแข่งขันเพื่อหาผู้ชนะที่แท้จริง

จากนี้ไปจะใช้ผลเฉลยของ $STS(v)$ และ $KTS(v)$ เป็นเครื่องมือสำหรับแก้ปัญหาการจัดการแข่งขันซึ่งแต่ละนัดเป็นการแข่งขันระหว่าง 3 ทีมประเภทที่มีการบุกและการตั้งรับ ซึ่งมีกติกาโดยคร่าวดังนี้

การแข่งขันกีฬารายการหนึ่งมีทีมเข้าแข่งทั้งสิ้น v ทีม โดยที่การแข่งขันแต่ละนัดจะมีทีมลงสนามเพื่อแข่งขันพร้อมกันจำนวน 3 ทีม สมมติว่าเป็นทีม a ทีม b และทีม c ถ้าทิศทางการบุกและการตั้งรับในสนามทั้ง 3 เหตุการณ์ต่อไปนี้จะเกิดขึ้นพร้อมกัน คือ

- (i) a บุกไปฝั่ง b และ b ตั้งรับ a เขียนแทนด้วย \overline{ab}
- (ii) b บุกไปฝั่ง c และ c ตั้งรับ b เขียนแทนด้วย \overline{bc}
- (iii) c บุกไปฝั่ง a และ a ตั้งรับ c เขียนแทนด้วย \overline{ca}

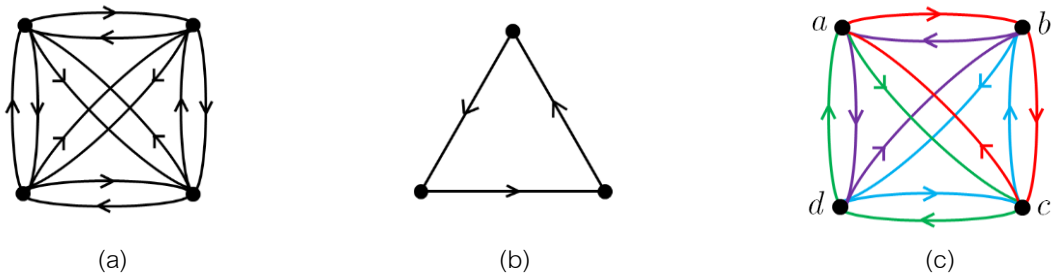
เราจะเขียนแทนการแข่งขันนัดนี้ด้วยสัญลักษณ์ (a,b,c) และเมื่อการบุกของทีมใดประสบความสำเร็จจะได้ 1 แต้ม เช่น ในการแข่งขันฟุตบอลถ้าทีม a ยิงประตูทีม b ได้ จะได้รับ 1 คะแนน (ทีม a ยิงประตูทีม c ไม่นับคะแนน) ซึ่งในกีฬาบางประเภทอาจให้ผู้ที่ได้แต้มก่อนเป็นผู้ชนะในนัดนั้น หรือบางประเภทอาจใช้วิธีการจับเวลาแล้วให้ผู้เล่นคือผู้ที่ได้แต้มมากที่สุด



ภาพที่ 6: แสดงทิศทางการบุกของการแข่งขันฟุตบอลแบบสามทีม

เพื่อให้ผู้เล่นเตะคือผู้ที่เก่งที่สุดอย่างแท้จริงแต่ละทีมจึงควรได้แข่งกับทีมอื่นทุกทีมทั้งในเหตุการณ์ที่ตนเองเป็นฝ่ายบุกและตนเองเป็นฝ่ายตั้งรับ เช่น ถ้าการแข่งขันกีฬารายการนี้มีทีมเข้าร่วม คือ ทีม a ทีม b ทีม c และทีม d ทิศทางการบุกทั้งหมดที่ควรต้องเกิดขึ้น คือ \overline{ab} \overline{ba} \overline{ac} \overline{ca} \overline{ad} \overline{da} \overline{bc} \overline{cb} \overline{bd} \overline{db} \overline{cd} และ \overline{dc} ซึ่งหากจำลองการแข่งขันด้วยกราฟ สามารถแทนทีมทั้งหมดด้วยจุดยอดและทิศทางการบุกทั้งหมดด้วยเส้นเชื่อมที่มีทิศทาง (ทิศทางการบุก a บุกไปฝั่ง b แทนด้วยเส้นเชื่อมระหว่างจุดยอด a กับ จุดยอด b โดยหัวลูกศรมีทิศทางชี้จาก a ไป b) พบว่าเมื่อการแข่งขันมีทีมเข้าร่วม v ทีม จะแทนทีมและทิศทางการบุกทั้งหมดได้ด้วยกราฟ K_v^* ซึ่งนิยามเป็นกราฟที่มี v จุดยอดซึ่งทุกคู่ของจุดยอดมีเส้นเชื่อมระหว่างกัน 2 เส้น และเส้นเชื่อมทั้งสองมีทิศทางตรงข้ามกัน เช่นในภาพที่ 7(a) แสดง K_4^*

กำหนดให้ กราฟที่มี 3 จุดยอด ที่แต่ละคู่ของจุดยอดมีเส้นเชื่อมระหว่างกัน 1 เส้น โดยเส้นเชื่อมเหล่านี้มีทิศทางเดียวกัน (ทวนเข็มนาฬิกาทั้งหมดหรือตามเข็มนาฬิกาทั้งหมด) เรียกว่า “3-วงจร (3-circuit)” ดังภาพที่ 7(b) สังเกตว่าจำนวนเส้นเชื่อมทั้งหมดใน K_v^* มี $v(v-1)$ เส้น และการแข่งขัน (a,b,c) เป็น 3-วงจร นอกจากนี้จะนิยามเพิ่มเติมว่าสองวงจรใด ๆ จะเรียกว่า “สองวงจรตรงข้ามกัน” เมื่อสองวงจรนั้นมีจุดยอดเหมือนกันแต่เส้นเชื่อมมีทิศทางตรงข้ามกัน เช่น (a,b,c) กับ (a,c,b)



ภาพที่ 7: (a) แสดง K_4^*

(b) แสดง 3-วงจร

(c) แสดงการแบ่งกันเซตของเส้นเชื่อมใน K_4^* ด้วย 3-วงจร

ในการแข่งขันแต่ละนัดจะเกิดทิศทางการบุกทั้งสิ้น 3 เหตุการณ์ที่ประกอบกันเป็น 3-วงจร และในการแข่งขันให้จบหนึ่งรายการเพื่อหาผู้เล่นที่เก่งที่สุดจะต้องมีทิศทางการบุกจนครบ K_v^* พอดี เพราะฉะนั้นรูปแบบการจัดการแข่งขัน

จึงประหนึ่งการแบ่งกั้นเซตของเส้นเชื่อมใน K_v^* ด้วย 3-วงจร เช่น ภาพที่ 7(c) แสดงการแบ่งกั้นเซตของเส้นเชื่อมใน K_4^* ของการแข่งขันกีฬาที่มีทีมเข้าร่วม คือ ทีม a ทีม b ทีม c และทีม d ด้วย 3-วงจร ดังนี้ (a,b,c) (a,c,d) (a,d,b) และ (b,d,c) สำหรับส่วนต่อไปจะแสดงให้เห็นว่า K_v^* สามารถแบ่งกั้นเซตของเส้นเชื่อมทั้งหมดออกเป็น 3-วงจรได้ก็ต่อเมื่อ $v \equiv 0, 1, 3$ หรือ $4 \pmod{6}$ ยกเว้นเมื่อ $v = 6$ โดยอ้างอิงการพิสูจน์จากงานวิจัยซึ่งเรียบเรียงโดย เจ ซี เบอรัมอนด์ (Bermond, 1974) ดังทฤษฎีบทต่อไปนี้

ทฤษฎีบทที่ 3 (Bermond, 1974) สำหรับ $v \neq 6$ จะได้ว่า K_v^* สามารถแบ่งกั้นเซตของเส้นเชื่อมทั้งหมดออกเป็น 3-วงจรได้ก็ต่อเมื่อ $v \equiv 0, 1, 3$ หรือ $4 \pmod{6}$

บทพิสูจน์ ให้ $v \neq 6$ สมมติให้ K_v^* สามารถแบ่งกั้นเซตของเส้นเชื่อมทั้งหมดออกเป็น 3-วงจรได้ ดังนั้น 3 จะต้องหารจำนวนเส้นเชื่อมของ K_v^* ลงตัว นั่นคือ $v(v-1) \equiv 0 \pmod{3}$ ดังนั้น $v \equiv 0, 1, 3$ หรือ $4 \pmod{6}$ ในส่วนของการพิสูจน์เงื่อนไขพอเพียงจะแบ่งการพิสูจน์ออกเป็น 3 กรณี

กรณีที่ 1 $v \equiv 1$ หรือ $3 \pmod{6}$

กรณีนี้สามารถใช้ผลของทฤษฎีบทที่ 1 โดยตรง คือ สามารถแบ่งกั้นเซตของเส้นเชื่อมใน K_v ออกเป็นสามเหลี่ยมได้ตามรูปแบบของ $STS(v)$ จากนั้นนำสามเหลี่ยม $\{x, y, z\}$ ใด ๆ มาแยกเป็น 3-วงจร จำนวน 2 วง คือ (x, y, z) และ (x, z, y) จะได้ว่า K_v^* สามารถแบ่งกั้นเซตของเส้นเชื่อมทั้งหมดออกเป็น 3-วงจรได้

กรณีที่ 2 $v \equiv 4 \pmod{6}$

ให้ $v = 6t + 4$ โดยที่ $t \geq 1$ และ x_0 เป็นจุดยอดใด ๆ ของ K_v^*

พิจารณา $K_v^* - \{x_0\}$ (กราฟที่ได้จากการลบจุดยอด x_0 และเส้นเชื่อมทั้งหมดที่เชื่อมกับ x_0 ออกจาก K_v^*) ได้ว่า $K_v^* - \{x_0\}$ มีจุดยอดเหลืออยู่ $6t + 3$ จุดยอด จากทฤษฎีบทที่ 2 จะสามารถประยุกต์ผลจากการแบ่งกั้นเซตของเส้นเชื่อมใน $K_v - \{x_0\}$ ออกเป็นสามเหลี่ยมได้ตามรูปแบบของ $KTS(v-1)$ ในทำนองเดียวกับกรณีที่ 1 ทำให้ได้ชั้นขนานของ 3-วงจร จำนวน $2(3t+1)$ ชั้น โดยแต่ละชั้นขนานประกอบด้วย 3-วงจร จำนวน $2t+1$ วง ในการแบ่งกั้นเซตของเส้นเชื่อมใน K_{6t+3}^* สมมติให้ $P = \{C_1, \dots, C_t, \dots, C_{2t+1}\}$ เป็นชั้นขนานหนึ่ง โดยที่ $C_i = (x_i, y_i, z_i)$ ดังนั้นการแบ่งกั้นเซตของเส้นเชื่อมใน K_v^* ที่ต้องการจะประกอบด้วย 2 ส่วน จำแนกตามลักษณะที่มาของ 3-วงจรเป็น Q_1 และ Q_2 ดังนี้

Q_1 ประกอบด้วย 3-วงจร จำนวน $3(2t+1)$ วง โดยอาศัยแต่ละ C_i ใน P และ x_0 มาสร้าง (x_0, x_i, y_i) (x_0, y_i, z_i) และ (x_0, z_i, x_i)

Q_2 ประกอบด้วย 3-วงจร จำนวน $(2t+1)(2(3t+1)-1) = (2t+1)(6t+1)$ วง ในชั้นขนานที่เหลือ นอกเหนือจาก P

กรณีที่ 3 $v \equiv 0 \pmod{6}$

ให้ $v = 6t + 6$ โดยที่ $t \geq 1$ และ x_0, y_0, z_0 เป็น 3 จุดยอดใด ๆ ที่แตกต่างกันใน K_v^*

พิจารณา $K_v^* - \{x_0, y_0, z_0\}$ (กราฟที่ได้จากการลบจุดยอด x_0, y_0, z_0 และเส้นเชื่อมทั้งหมดที่เชื่อมกับสามจุดยอดนี้ออกจาก K_v^*) ซึ่งเป็นกราฟที่มี $6t+3$ จุดยอด จากทฤษฎีบทที่ 2 จะสามารถประยุกต์ผลจากการแบ่งกั้นเซตของเส้นเชื่อมใน $K_v^* - \{x_0, y_0, z_0\}$ ออกเป็นสามเหลี่ยมได้ตามรูปแบบของ $KTS(v-3)$ จะมีชั้นขนานของ 3-วงจรอยู่จำนวน $2(3t+1)$ ชั้น โดยแต่ละชั้นขนานประกอบด้วย 3-วงจร จำนวน $2t+1$ วง ให้ $P = \{C_1, \dots, C_t, \dots, C_{2t+1}\}$

$P' = \{C'_1, \dots, C'_j, \dots, C'_{2t+1}\}$ และ $P'' = \{C''_1, \dots, C''_k, \dots, C''_{2t+1}\}$ เป็นชั้นขนานโดยที่ $C_i = (x_i, y_i, z_i)$ $C'_j = (x'_j, y'_j, z'_j)$ และ $C''_k = (x''_k, y''_k, z''_k)$ ดังนั้นการแบ่งกันเซตของเส้นเชื่อมใน K_v^* ที่ต้องการประกอบด้วย 5 ส่วน จำแนกตามลักษณะที่มาของ 3-วงจร เป็น Q_1, Q_2, Q_3, Q_4 และ Q_5 ดังนี้

Q_1 ประกอบด้วย 3-วงจร จำนวน 2 วง จาก (x_0, y_0, z_0) และ (x_0, z_0, y_0)

Q_2 ประกอบด้วย 3-วงจร จำนวน $3(2t + 1)$ วง โดยอาศัยแต่ละ C_i ใน P และ x_0 มาสร้าง (x_0, x_i, y_i) (x_0, y_i, z_i) และ (x_0, z_i, x_i)

Q_3 ประกอบด้วย 3-วงจร จำนวน $3(2t + 1)$ วง โดยอาศัยแต่ละ C'_i ใน P' และ y_0 มาสร้าง (y_0, x'_i, y'_i) (y_0, y'_i, z'_i) และ (y_0, z'_i, x'_i)

Q_4 ประกอบด้วย 3-วงจร จำนวน $3(2t + 1)$ วง โดยอาศัยแต่ละ C''_i ใน P'' และ z_0 มาสร้าง (z_0, x''_i, y''_i) (z_0, y''_i, z''_i) และ (z_0, z''_i, x''_i)

Q_5 ประกอบด้วย 3-วงจร จำนวน $(2t + 1)(2(3t + 1) - 3) = (2t + 1)(6t - 1)$ วง ในชั้นขนานที่เหลือ นอกเหนือจาก P, P' และ P'' ■

ทฤษฎีบทที่ 4 (Bermond, 1974) ไม่สามารถแบ่งกันเซตของเส้นเชื่อมใน K_v^* ออกเป็น 3-วงจรได้

บทพิสูจน์ สมมติให้สามารถแบ่งกันเซตของเส้นเชื่อมใน K_v^* ออกเป็น 3-วงจรได้ และให้ 1 เป็นจุดยอดใด ๆ ใน K_v^* พิจารณา 3-วงจร ที่มีจุดยอด 1 อยู่ในวง พบว่าต้องเป็นกรณีใดกรณีหนึ่งต่อไปนี้

กรณีที่ 1 ไม่มีสอง 3-วงจรตรงข้ามกันที่มี 1 อยู่ในทั้งสองวงจรมัน

โดยไม่เสียหายนะทั่วไป สมมติให้ 3-วงจรที่มี 1 อยู่ในรูปแบบเป็น $(1, 2, 3)$ $(1, 3, 4)$ $(1, 4, 5)$ $(1, 5, 6)$ และ $(1, 6, 2)$ พิจารณาเส้นเชื่อมที่มีจุดยอด 2 เป็นจุดปลาย ซึ่งไม่ซ้ำกับเส้นเชื่อมที่เกิดขึ้นแล้วในรูปแบบข้างต้น พบว่า $\overline{24}$ ต้องอยู่ใน 3-วงจร $(2, 4, 3)$ เท่านั้น (เนื่องจาก $\overline{12}$ $\overline{45}$ และ $\overline{62}$ ปรากฏแล้วใน 3-วงจร $(1, 2, 3)$ $(1, 4, 5)$ และ $(1, 6, 2)$ ตามลำดับ) ในทำนองเดียวกัน $\overline{25}$ ต้องอยู่ใน 3-วงจร $(2, 5, 4)$ และสุดท้าย $\overline{26}$ ต้องอยู่ใน 3-วงจร $(2, 6, 5)$ ดังนั้นเส้นเชื่อมที่เหลือคือ $\overline{35}$ $\overline{36}$ $\overline{46}$ $\overline{53}$ $\overline{63}$ และ $\overline{64}$ ซึ่งพบว่าไม่สามารถนำเส้นเชื่อมเหล่านี้มาจัดให้เป็น 3-วงจรได้ จึงเกิดข้อขัดแย้ง

กรณีที่ 2 มีสอง 3-วงจรตรงข้ามกันที่มี 1 อยู่ในทั้งสองวงจรมัน

โดยไม่เสียหายนะทั่วไป สมมติให้สอง 3-วงจรดังกล่าวคือ $(1, 2, 3)$ และ $(1, 3, 2)$ สังเกตว่าไม่สามารถมีสองวงจรตรงข้ามกันที่มี 1 อยู่ในทั้งสองวงจรมันเกิน 1 คู่ได้ ดังนั้นจะได้ 3-วงจรที่เหลือที่มี 1 ปรากฏอยู่ต้องเป็น $(1, 4, 5)$ กับ $(1, 5, 6)$ และ $(1, 6, 4)$ ในทำนองเดียวกับการพิสูจน์กรณีที่ 1 $\overline{24}$ ต้องอยู่ใน 3-วงจร $(2, 4, 6)$ ในขณะที่ $\overline{25}$ ต้องอยู่ใน 3-วงจร $(2, 5, 4)$ และสุดท้าย $\overline{26}$ และอยู่ใน 3-วงจร $(2, 6, 5)$ โดยเหลือเส้นเชื่อมคือ $\overline{34}$ $\overline{35}$ $\overline{36}$ $\overline{43}$ $\overline{53}$ และ $\overline{63}$ ซึ่งพบว่าไม่สามารถนำเส้นเชื่อมเหล่านี้มาจัดให้เป็น 3-วงจรได้ จึงเกิดข้อขัดแย้ง จากทั้งสองกรณีพบว่าไม่สามารถแบ่งกันเซตของเส้นเชื่อมใน K_v^* ออกเป็น 3-วงจรได้ ■

ในตัวอย่างที่ 3 และตัวอย่างที่ 4 แสดงรูปแบบการจัดการแข่งขันดังกล่าว เมื่อมีทีมเข้าแข่งขัน 9 ทีม และ 10 ทีม ตามลำดับ

ตัวอย่างที่ 3 แสดงรูปแบบการจัดการแข่งขันที่ทีมชนะคือทีมที่เก่งที่สุดอย่างแท้จริง เมื่อมีทีมเข้าแข่งขัน 9 ทีม

| | | | |
|--------------|--------------|--------------|--------------|
| (1, 5, 9) | (1, 9, 5) | (3, 9, 7) | (3, 7, 9) |
| (2, 8, 7) | (2, 7, 8) | (2, 4, 1) | (2, 1, 4) |
| (3, 4, 6) | (3, 6, 4) | (5, 6, 8) | (5, 8, 6) |
| ชั้นขนานที่1 | ชั้นขนานที่2 | ชั้นขนานที่3 | ชั้นขนานที่4 |
| (2, 6, 9) | (2, 9, 6) | (4, 9, 8) | (4, 8, 9) |
| (1, 3, 8) | (1, 8, 3) | (3, 5, 2) | (3, 2, 5) |
| (4, 5, 7) | (4, 7, 5) | (6, 7, 1) | (6, 1, 7) |
| ชั้นขนานที่5 | ชั้นขนานที่6 | ชั้นขนานที่7 | ชั้นขนานที่8 |

ตัวอย่างที่ 4 แสดงรูปแบบการจัดการแข่งขันที่ทีมชนะคือทีมที่เก่งที่สุดอย่างแท้จริง เมื่อมีทีมเข้าแข่งขัน 10 ทีม

| | | | | | |
|------------|------------|------------|------------|------------|------------|
| (10, 1, 5) | (10, 1, 9) | (10, 5, 9) | (10, 2, 8) | (10, 2, 7) | (10, 8, 7) |
| (10, 3, 4) | (10, 3, 6) | (10, 4, 6) | (1, 9, 5) | (2, 7, 8) | (3, 6, 4) |
| (3, 9, 7) | (2, 4, 1) | (5, 6, 8) | (3, 7, 9) | (2, 1, 4) | (5, 8, 6) |
| (2, 6, 9) | (1, 3, 8) | (4, 5, 7) | (2, 9, 6) | (1, 8, 3) | (4, 7, 5) |
| (4, 9, 8) | (3, 5, 2) | (6, 7, 1) | (4, 8, 9) | (3, 2, 5) | (6, 1, 7) |

สำหรับตัวอย่างที่ 3 นั้น เนื่องจาก $v = 9$ สอดคล้องกับ $v \equiv 3 \pmod{6}$ ดังนั้นจึงสามารถแบ่งกันเซตของเส้นเชื่อมทั้งหมดออกเป็น 3-วงจร และสามารถจัดเป็นชั้นขนานได้อีกด้วย ซึ่งทำให้ออกมาจะได้ทีมที่เก่งที่สุดอย่างแท้จริงแล้ว ถ้าให้ชั้นขนานแทนการแข่งขันในหนึ่งวัน พบว่าในแต่ละวันทุกทีมจะได้แข่งขันทั้งหมดและการแข่งขันจะสิ้นสุดลงในเวลาเพียง 8 วันเท่านั้น ยิ่งถ้าแต่ละทีมแข่งได้เพียงวันละ 1 นัดเท่านั้น แล้วจำนวนวันเท่านี้ถือเป็นจำนวนวันที่น้อยที่สุดที่เป็นไปได้ จำนวนวันที่น้อยนี้นำมาซึ่งค่าใช้จ่ายที่ลดลง นั่นหมายความว่าจัดการแข่งขันลักษณะนี้ทำให้ได้ผู้ชนะที่ดีที่สุด ในเวลาที่สั้นสุด และเสียค่าใช้จ่ายน้อยที่สุด

บทสรุปและข้อเสนอแนะ

บทพิสูจน์ของทฤษฎีบทที่ 3 ให้วิธีการจัดการแข่งขันกีฬาที่แต่ละนัดเป็นการแข่งขันระหว่าง 3 ทีมประเภทที่มีการบุกและการตั้งรับ ซึ่งทำให้ผู้ชนะเลิกจากการแข่งขันรายการนี้คือผู้ที่มีความสามารถที่ดีที่สุด ทั้งนี้จำนวนทีมที่เข้าแข่งขันต้องเป็น v ทีม โดยที่ $v \neq 6$ และ $v \equiv 0, 1, 3$ หรือ $4 \pmod{6}$

แนวคิดนี้สามารถขยายผลไปสู่การจัดการแข่งขันกีฬาในรายการที่มีทีมเข้าร่วม n ทีม โดยที่การแข่งขันแต่ละนัดเป็นการแข่งขันระหว่าง m ทีม ($m < n$) ประเภทที่มีการบุกและการตั้งรับ เพื่อให้ได้ผู้ชนะที่มีความเป็นเลิศที่สุดในกีฬานั้นได้ ด้วยการหาวิธีการแบ่งกันเซตของเส้นเชื่อมใน K_n^* ออกเป็น m -วงจร

เอกสารอ้างอิง

- Barnier N. & Brisset P. (2002). Solving the Kirkman's schoolgirl problem in a few seconds. In *Proceedings of the 8th International Conference on Principles and Practice of Constraint Programming*. (pp. 477–491). London: Springer-Verlag.
- Bermond J.C. (1974). An application of the solution of Kirkman's schoolgirl problem: The decomposition of the symmetric oriented complete graph into 3-circuits, *Disc. Math.*, 8, 301–304.
- Gardner M. (1997). Dinner guest, Schoolgirls and Handcuffed prisoners, *The Last Recreations*, (pp. 121-138). New York: Springer-Verlag.
- Kirkman T. P. (1850). Query VI, *Ladies's and Gentleman's Diary*, 48.
- Li X.Y. (2011). A new method of constructing Kirkman triple system. In *Proceedings of the 2011 Chinese Control and Decision Conference (CCDC)*. (pp. 4237–4242). Beijing: IEEE Conference Publications.
- Ray-Chaudhuri D.K. & Wilson R.M. (1971). Solution of Kirkman's school-girl problem, *Amer. Math. Soc. Symp. Pure Math.*, 19, 187–204.
- Steiner J. (1853). Combinatorische Aufgabe, *J. Reine Angew. Math.*, 45, 181–182.
- Stinson D.R. & Vanstone S.A. (1985). Some non-isomorphic Kirkman triple systems of orders 39 and 51, *Utilitas Math.*, 27, 199–205.
- Wallis W.D. (2007). *Introduction to combinatorial designs*, 2nd Edition, (pp. 179–195). Florida: Chapman & Hall.